

PAPER DETAILS

TITLE: SKL-21 Tipi Gergi Kiskaçlarının Deneysel Hasar Analizi

AUTHORS: Ali Motameni, Ömer Can Farukoglu, Riza Gürbüz

PAGES: 56-66

ORIGINAL PDF URL: <https://dergipark.org.tr/tr/download/article-file/3389777>



SKL-21 Tipi Gergi Kıskaçlarının Deneysel Hasar Analizi

Ali MOTAMENİ¹ , Ömer Can FARUKOĞLU² , Rıza GÜRBÜZ¹

¹ *Orta Doğu Teknik Üniversitesi, Metalürji ve Malzeme Mühendisliği Bölümü, Ankara, Türkiye*

² *Gazi Üniversitesi, İmalat Mühendisliği Bölümü, Ankara, Türkiye*

*ali.motameni@raymaklab.com

(Alınış/Received: 06.09.2023, Kabul/Accepted: 13.10.2023, Yayımlama/Published: 31.01.2024)

Öz: Bu araştırmanın amacı demiryolu hatlarında kullanılan bağlantı elemanlarından biri olan SKL-21 gergi kıskaçlarının hasar analizinin deneysel olarak tespitidır. Çalışmada kullanılan kıskaçlar aynı şehir içi metro hattından 4 adetlik bir örneklemdir. Kıskaçların kırılma sebeplerini anlamak için numuneler üzerinden çeşitli ölçümler alınmıştır. Kıskaçlar öncelikle gözle muayene edilmiş ve daha sonra taramalı elektron mikroskopu (SEM) ile incelemeye alınmıştır. Mikroyapı incelemeleri ve enerji dağılım spektroskopisi (EDS) analizleri yapılmıştır. Ayrıca numunelerden Vickers sertlik ölçümleri alınmıştır. Yapılan hasar analizi kapsamında, kırılmanın oluşumunda iki farklı mekanizma görülmüştür. İlk duruma göre kıskaçlar hatalı montajdan dolayı ray tabanına göre normalden daha düşük bir pozisyonda kalmıştır. Bu durum; tren ray üzerinden geçerken aşırı deplasmana sebep olmakta ve tren rayın üzerinden geçen kıskaçların zarar görmesi ile sonuçlanmaktadır. İkinci durum ise bazı bağlantı noktalarında kırılan kıskaçların karşısındaki kıskaçların yeterli torkla monte edilmemesidir; bu da kıskaçların aşırı yüklenerek kırılmasına neden olur.

Anahtar kelimeler: SKL-21 gergi kıskaçı, Hasar analizi, Demiryolu bağlantı sistemi

Experimental Failure Analysis of SKL-21 Type Tension Clamps

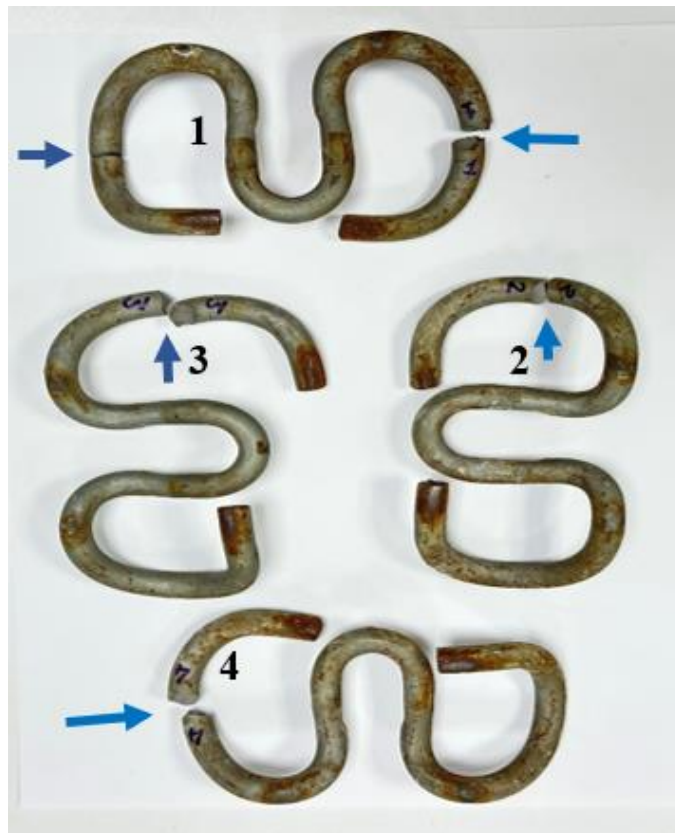
Abstract: The aim of this research is to experimentally determine the failure of SKL-21 tension clamps, one of the fasteners used in railway lines. The clamps used in the study are a sample of 4 from the same urban metro line. Various measurements were taken from the samples to understand the reasons for the fracture of the clamps. The clamps were first visually inspected and then examined by scanning electron microscopy (SEM). Microstructure examinations and energy dispersive spectroscopy (EDS) analyses were performed. Additionally, Vickers hardness measurements were taken from the samples. Within the scope of the failure analysis, two different mechanisms are observed in the formation of the fracture. According to the first case, the clamps remained in a lower position than the rail base due to incorrect assembly. This situation causes excessive displacement and results in damage to the clamps as the train passes over the rail. The second case is that, at some fastening points, the clamps across the fractured clamps are not assembled with enough torque, which causes fracture by overloading the clamps.

Keywords: SKL-21 tension clamp, Failure analysis, Railway fastening system

1. Giriş

Demiryolu taşıma sistemleri sektördeki gelişmelerle birlikte hızlı bir ilerleme kaydetmiştir. Özellikle Çin, Japonya gibi Asya ülkelerinde faal olan yüksek hızlı demiryolu sistemleri, toplu taşıma için ayrılan bütçelerde belirgin ekonomik kalemler oluşturmaktadır. Benzer yatırımlar Avrupa kıtasında da karşımıza çıkmaktadır. Bu taşıma sistemlerinde hız kalitesini ve hızını artırmak için ülkelerin ulaşım bakanlıkları ve muhtelif kurumları faal olarak görev sürdürmektedir. Dolayısıyla, hız ve kalitenin artırılması arzusu aşılması gereken bir takım teknik ve mühendislik sorunları beraberinde getirmektedir.

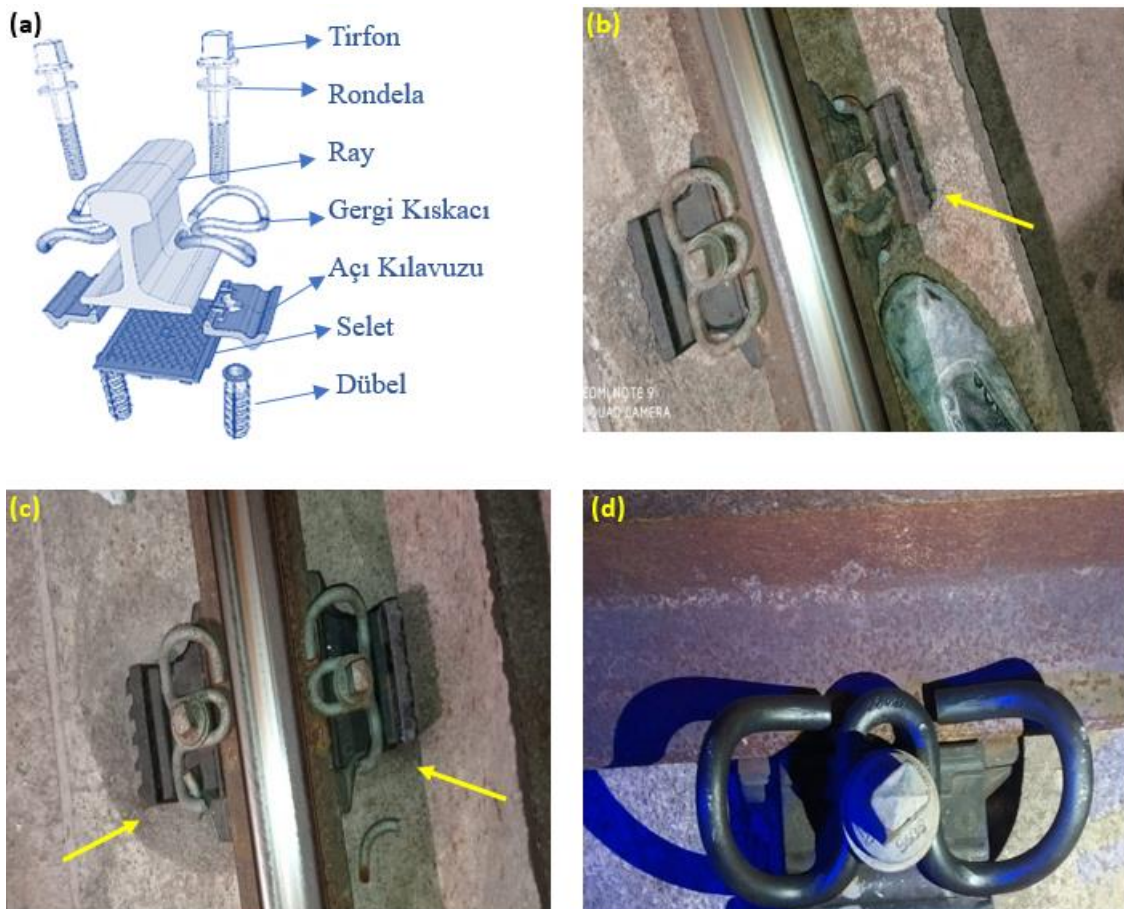
Atif için/Cite as: A. Motameni, Ö.C. Farukoğlu, R. Gürbüz, "SKL-21 tipi gergi kıskaçlarının deneysel hasar analizi," *Demiryolu Mühendisliği*, no. 19, pp. 56-66, Jan. 2024. doi: 10.47072/demiryolu.1356197



Şekil 1. Hasara uğramış SKL-21 gergi kırkaçları

Bu çalışmada rayların ve traverslerin birbirine bağlanması sırasında kullanılan bağlantı elemanlarından biri olan gergi kırkaçlarında oluşan hasarın sebepleri araştırılmıştır. İşbu analize konu hasar görmüş gergi kırkaçlarından bir örneklem (4 adet) analiz edilmiştir. Örneklem Şekil 1'de verilmiştir ve her bir hasarlı kırkaç 1'den 4'e kadar numaralandırılmıştır. Şekilden de görüleceği üzere kırkaçlardaki kırılma noktaları oklarla belirtilmiştir. İlk kırkaç iki yerden kırılırken, diğer kırkaçlar tek noktadan kırılmıştır. Kırkaçlar SKL-21 tipidir ve HM tipi ray bağlantılarında kullanılmaktadır. Şekil 2 (a)'da HM tipi ray bağlantı ekipmanları illüstrasyon halinde verilmiştir. Diğer bağlantı tipleri hakkında bilgi edinmek için ayrıca kaynak [1]'e bakılabilir. Şekil 2 (b), (c) ve (d)'de ise kırkaçları kapsayan saha fotoğrafları sunulmuştur. Kırkaçların bulunduğu hatta iki tip bağlantı elemanı kullanılmıştır. Bunlar TPS 05 (ray altı pedi riyitlik değeri 30×10^6 N/m) ve TPS 08 (ray altı pedi riyitlik değeri 16×10^6 N/m) bağlantı malzemeleridir. Bağlantı malzemeleri, tırforun 200-250 Nm torklanması ile monte edilmektedir. Torklama işlemi sırasında herhangi bir yağlama yapılmamıştır. Yağlama işlemi montaj esnasında aşınmayı ve sürtünmeyi azaltırken aynı zamanda montajlanan parçaların birbiriyle uyum içinde çalışması arttırmır. Bazı kesimlerde kırılan kırkaçların karşısındaki veya öncesindeki veya sonraki kırkaçların torklarının yeterli sıkılmadığı görülmüştür. Hasarlı parçalar üzerinde yapılan test ve incelemelerin detayları ve sonuçları aşağıda hasar analizi bölümünde alt başlıklar halinde verilmiştir.

Teknik analize geçmeden önce literatürde raporlanmış benzer durumlara değinmek yerinde olacaktır. Bu çalışmaya konu SKL tipi gergi kırkaçları dışında farklı geometriye sahip kırkaçlarda demiryollarında kullanılmaktadır. Bu kapsamında, e-tipi kırkaçlar için verilen kaynaklara göz atılabilir [2-6]. Çalışma [2]'de Çin'de şehir içi metro hatlarında kullanılan e-tipi gergi kırkaçlarının hasar analizi yapılmıştır. Araştırmada sonlu elemanlar yöntemiyle hem statik hem



Şekil 2. (a) HM tipi bağlantı şekli, (b) Rayın tek tarafından kırılan gergi kıskacı, (c) Rayın çift tarafından kırılan gergi kıskacı, (d) Montajı sağlam yapılmış gergi kıskacı

de dinamik analiz yapılmıştır. Statik analizde lineer olmayan temas teorisini kullanılarak gerilme-gerinim analizleri yapılmıştır. Dinamik analizde ise titreşim modları incelenmiştir. Çalışmada kıskaçların yanlış montaj, rezonans ve gerilim konsantrasyonları sebebiyle hasara uğradığı belirtilmiştir. Araştırma [3]'te e-tipi kıskaçlar için yorulma analizi yapılmıştır. Modelin simülasyonunda hem Abaqus hem de Fe-safe programlarından yararlanılmıştır. Bu modeller 12 farklı çalışma koşulu için yapılmıştır. Kaynak [4]'te yine e-tipi bağlantı kıskaçları için kıskaçların “tabanına ve ucuna binen yükün kıskacın deformasyonu ve yorulma direnci üzerine etkileri incelenmiştir. Sonlu elemanlar metodu, statik yük deneyleri ve yorulma deneyleri ile kıskacın deformasyonu ve yorulma direnci değerlendirilmiştir. Referans [5]'te e-tipi ve fast-tipi kıskaçlar için Fatemi-Socie yorulma kriteriyle birlikte Abaqus programı kullanılarak sonlu eleman analizleri yapılmıştır. Ayrıca, yorulma davranışını daha derinlemesine anlamak için kıskaç malzemelerinden ASTM E466 standardına göre tek eksenli yorulma testleri de yapılmıştır. Makale [6]'da ray ondülasyonunun metro ray bağlantı elemanlarının yorulma ve kırılma davranışları üzerindeki etkisinin deneyel ve sayısal olarak incelenmesi yapılmıştır. Hatta kısa ve uzun aralıklı iki farklı ondülasyon gözlemlenmiştir. Ayrıca, hasara uğramış kıskaçların birçoğunun kısa aralıklı ondülasyonun olduğu bölgelerde görüldüğü ifade edilmiştir. Bahsi geçen çalışmada da e-tipi kıskaçlar değerlendirilmiştir. Çalışma [7]'de 300-350 km/s yüksek hız sahip demiryolu hatlarında W1-tipi kıskaçların hasar analizi yapılmıştır. Araştırmada, kıskaçların dinamik frekans tepkisi, dinamik gerilimi, yüksek frekansla uyarım (580-680 Hz) gibi konuların hasar mekanizmasına etkisi incelenmiştir. Kaynak [8]'de Güney Kore'de yurtiçi hatlarda kullanılan KR-tipi gergi kıskaçlarının yapısal davranış ve yorulma performans analizleri yapılmıştır. Laboratuvar ortamında yapılan testlerde sıkma işleminden sonra kıskaçlarda, özellikle gerilim yoğunlaşması olan bölgelerde tekrar eden tren yükleri sebebiyle akma

mukavemetinin aşıldığı gözlemlenmiştir. Ayrıca deneysel çalışmalar sonlu eleman modelleriyle de desteklenmiştir.

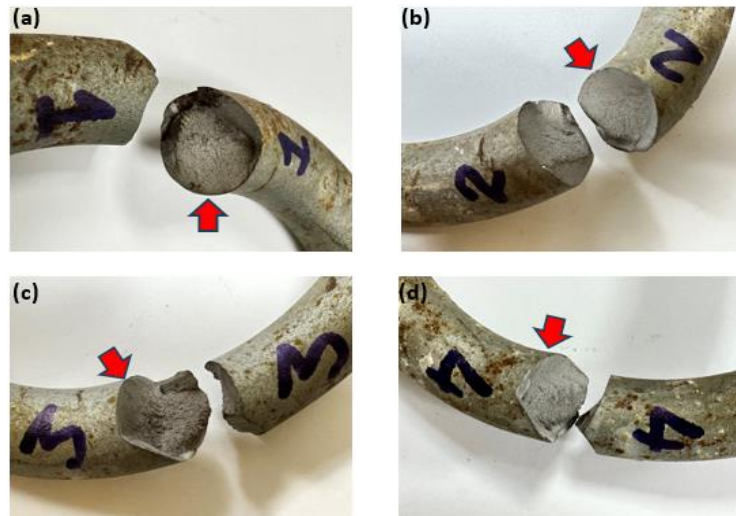
Şu noktaya kadar literatürde bulunan SKL tipi dışındaki farklı geometriye sahip gergi kıskaçlarına değinilmiştir. Bu kısımda ise SKL tipi gergi kıskaçlarına odaklanılacaktır. Makale [9]’da SKL-1 tipi kıskaçlar için hem deneysel hem de sonlu eleman metodu ile yapısal bütünlük analizi yapılmıştır. Bu çalışmada çoğu raporlanan araştırmanın aksine, kıskaçlardaki hasarın yorulma sebebiyle olmasının oldukça zor bir olasılık olduğu belirtilmiştir. Çalışma [10]’da, Güney Kore’de şehir içi raylı taşımacılık sistemlerinde kullanılan SKL-15 tipi gergi kıskaçlarında oluşan hasar analizi yapılmıştır. Bu kıskaçlarda su verilmiş ve temperlenmiş yay çeliğinin üzerindeki dekarburize tabakanın derinliğinin kırılmaya olan etkisi incelenmiştir. Araştırmada, imalatçı tarafından izin verilen 0.2 mm’lik dekarburize katman derinliğinin kıskaçlarda yorulma çatlaklarına sebep olabileceği saptanmıştır. Bir diğer Güney Kore şehir içi raylı hatlar araştırmasında [11], SKL-15 tipi gergi kıskaçları için yorulma üzerine güvenilirlik tabanlı analiz yapılmıştır. Analizde, sahada kıskaçlarda gerinim ölçer vasıtasyyla veriler toplanmıştır ve istatistiksel bir model hazırlanmıştır. Yine SKL-15 tipi gergi kıskaçlarının konu olduğu bir çalışmada [12], 6, 11 ve 16 yıldır hat üzerinde kullanılan kıskaçlar incelenmiştir. Kıskaçların hizmet süresine göre malzeme mukavemetindeki bozunma ve kıskaçların performansı üzerindeki etkileri araştırılmıştır. Araştırma [13]’te deneysel sonuçlar ve sonlu elemanlar metodu vasıtasyyla, SKL-15 gergi kıskaçları için yorulma parametrelerinde iyileştirme ile kıskaçlarda dayanım artışı incelenmiştir. Benzer bir biçimde, yine sonlu elemanlar metodu ve deneysel analizle SKL-15 tipi kıskaçlarda hasar ve yorulma analizleri kaynak [14]’te ele alınmıştır. Burada, Goodman ve Gerber eğrileri kullanılarak yorulma mekanizması hakkında analitik incelemeler yapılmıştır. Yakın tarihli başka bir çalışmada [15] ise SKL-14 gergi kıskaçları incelenmiştir. Bu çalışmada bahsi geçen kıskaçlar için çatlak ilerlemesi bakımından güvenilirlik analizi yapılmıştır. Literatür taramasından da görüldüğü üzere, SKL tipi kıskaçlar için muhtelif çalışmalar mevcuttur. Çalışmalar özellikle SKL-15 tipi geometriye sahip kıskaçlar üzerine yoğunlaşmıştır. Bu çalışmada ise şehir içi metro hatlarında kullanılan SKL-21 tipi gergi kıskaçlarında hasar analizi yapılacaktır. Hattın TS EN 13481-5+A1 [16] standartına göre bağlantı sınıfı kriteri B tipi olup, azami tasarım dingil yükü 180 kN ve hattın asgari kurp yarıçapı 80 metredir.

2. Hasar Analizi

Deneysel analiz kapsamında makro gözlemler, mikroyapı gözlemleri, sertlik testi ve kimyasal analiz yapılmıştır. Kıskaçlar öncelikle gözle muayene edilmiş, ardından SEM ile incelemeye alınmıştır. Mikroyapı incelemeleri ve EDS analizleri yapılmıştır. Bununla birlikte kıskaçların Vickers sertlik ölçümleri alınmıştır. Bu analizler aşağıdaki alt başlıklarda detaylandırılmıştır.

2.1. Makro gözlemler

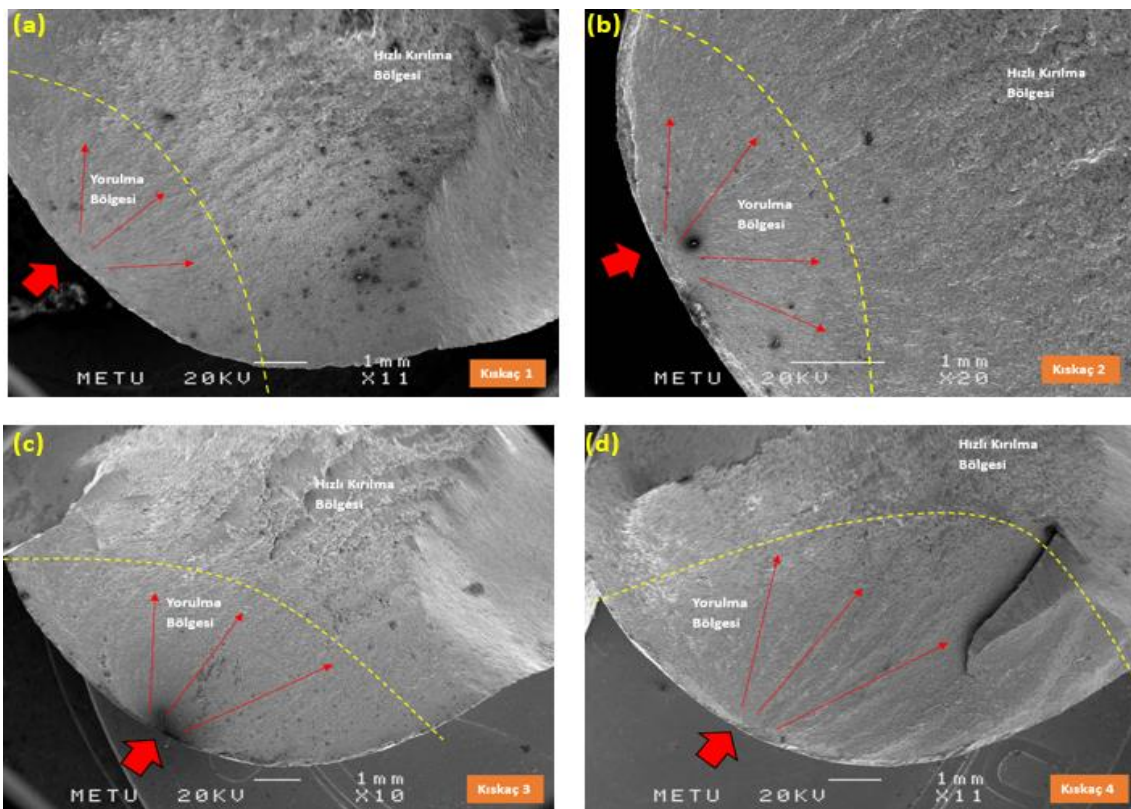
Kırılan kıskaçların fotoğrafları Şekil 1’de verilmiştir. Bu fotoğraflardaki ortak nokta kıskaçların aynı noktalarından benzer şekilde kırılmasıdır. Kırılmalar kıskaçların raya basan üç kısımlarında oluşmuştur. Kıskaç 1 ise iki ucundan da kırılmış durumdadır. Dört kıskaçında kırılma yüzeyleri benzer karakterdedir, bakınız Şekil 3. Kırık yüzeyde iki farklı doku dikkat çekmektedir. Nispeten daha düz ve pürüzsüz olan bölge kırılmanın ilk başladığı ve ilerlediği bölgelerdir. Yorulma yüklemesi (çevrimsel yükleme) sonucunda oluşturduğu görülen bu bölgeler Şekil 3’te oklarla işaretlenmiştir. İkinci bölge ise daha engebeli ve pürüzlü bir dokudadır. Bu bölgenin, kırılmanın son evresinde, eğilme ve burkulma nedeniyle oluşturduğu anlaşılmaktadır.



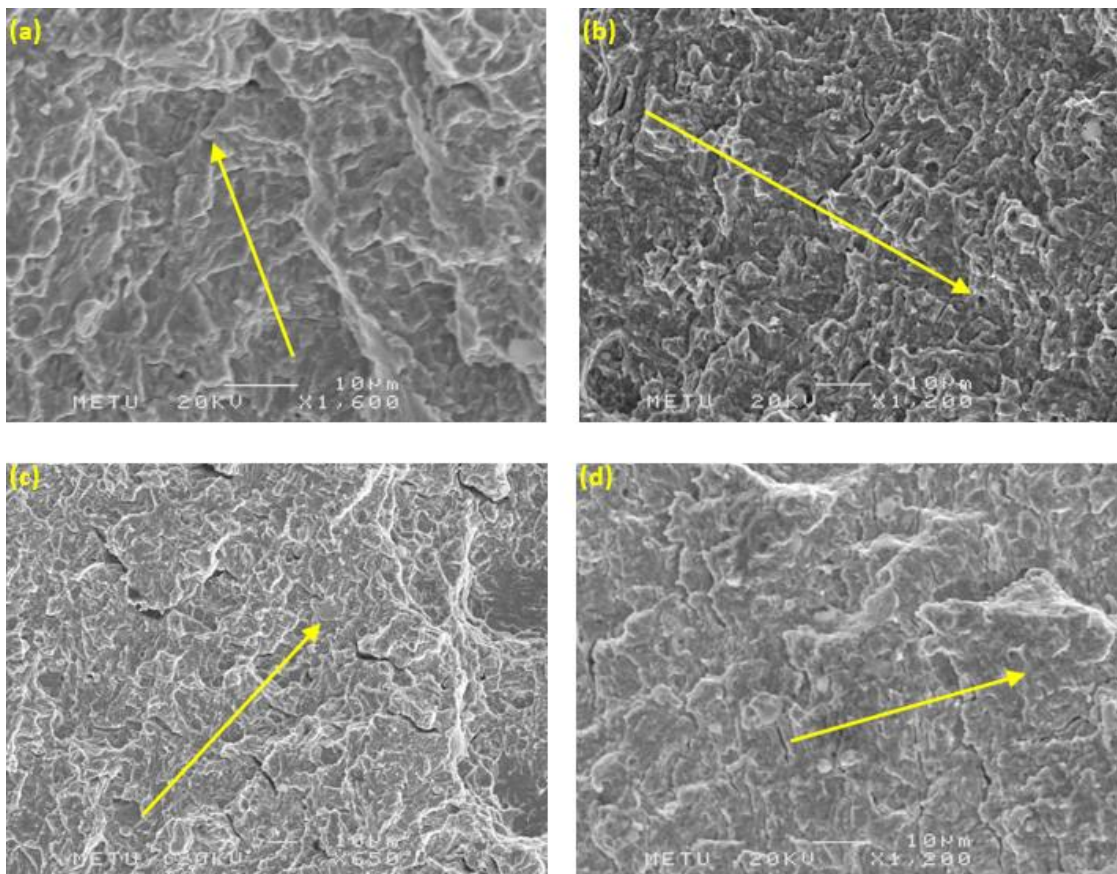
Şekil 3. Numaralandırılmış numunelerin kırık yüzeylerinin makro görünümleri. Oklar kırılmanın başladığı noktaları göstermektedir

2.2. Elektron mikroskopu ile incelemeler

Kırık yüzeyler elektron mikroskobunda detaylı olarak incelenmiştir. Şekil 4'te her bir numunenin kırık yüzeyi tek tek verilmiştir. Yorulma çatlaklarının başladığı noktalar radyal şevron çizgileri aracılığıyla kolaylıkla belirlenmiş ve bu noktalar fotoğraflar üzerinde kalın kırmızı oklarla işaretlenmiştir. Yorulma çatlaklarının ilerleme yönleri ise ince kırmızı oklarla gösterilmiştir. Sarı kesikli hatlar ise yorulma çatlaşının ani kırılma öncesinde gözlemlenebilen son konturlarını göstermektedir. Tüm numunelerde ani kırılma bölgeleri daha engebeli ve sünek dokudadır.



Şekil 4. Kırık yüzeylerin elektron mikroskobundaki genel görünümleri a) Kısaç No:1, b) Kısaç No:2, c) Kısaç No:3, d) Kısaç No:4



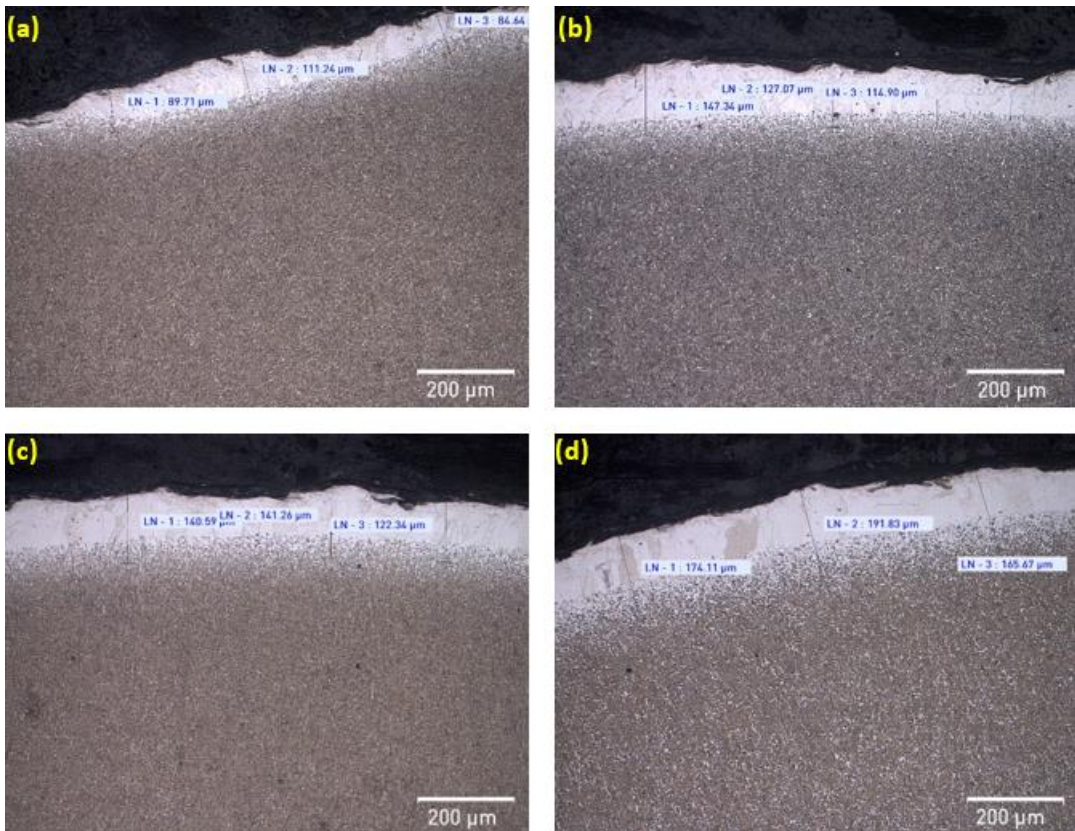
Şekil 5. Yorulma yüzeyi üzerindeki çatlak ilerleme izleri: Yorulma çizgileri ve ikincil çatlaklar. Oklar yorulma çatlaklarının ilerleme yönlerini göstermektedir. a) Kısaç No:1, b) Kısaç No:2, c) Kısaç No:3, d) Kısaç No:4

Yorulma çatlak yüzeyleri üzerinde, çatlak ilerlemesine ait birbirine paralel ikincil çatlaklar ve yorulma çizgileri belirgin olarak gözlemlenmiştir, bakınız Şekil 5. Yorulma çatlaklarının ilerleme yönleri Şekil 5 üzerinde oklarla gösterilmiştir.

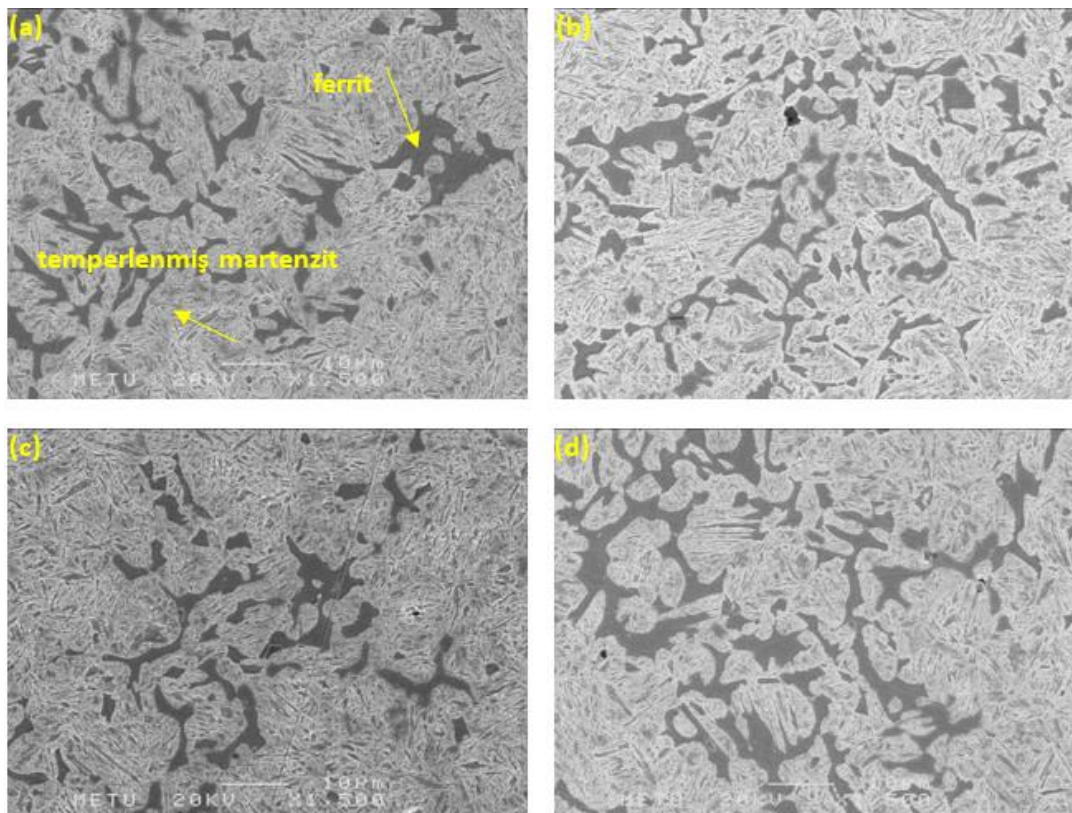
2.3. Mikroyapı incelemeleri

Kısaçların kesitleri metalografik olarak hazırlanmış ve mikroyapı incelemeleri yapılmıştır. Tüm numunelerin dış yüzeyinde karbonsuzlaşmış (dekarb) bir tabaka mevcuttur. Dekarb tabakasının en kalın olduğu yerlerden çekilen mikroyapı fotoğrafları her bir kısaç için Şekil 6'da verilmiştir. Optik yöntemle ölçülen dekarb derinlikleri mikroyapı fotoğrafları üzerinde gösterilmiştir. Kısaç No 1'den 4'e kadar ortalama dekarb tabakası derinlikleri sırasıyla 95, 129, 135 ve 177 mikron değerlerindedir. Dekarb tabakaları iri taneli ferrit fazından oluşmaktadır. Türkiye Cumhuriyeti Devlet Demiryolları (TCDD) Teknik Şartnamelerine göre dekarb tabakasının kalınlığı maksimum 0.2 mm derinlikte olması gerekmektedir. Kısaçlar bu koşulu sağlamaktadır.

Dekarb tabakasının dışında yay çeliğinden imal edilmiş kısaçların genel iç yapıları Şekil 7'de verilmiştir. Yapı ferrit ve menevişlenmiş (temperlenmiş) martensitten oluşmaktadır. Martensit yapının hâkim olduğu matriste yer yer widmanstatten ferrit ve beynit bölgeleri de mevcuttur. Şekil 7(a)'da ferrit ve temperlenmiş martensit yapılar oklarla gösterilmiştir.

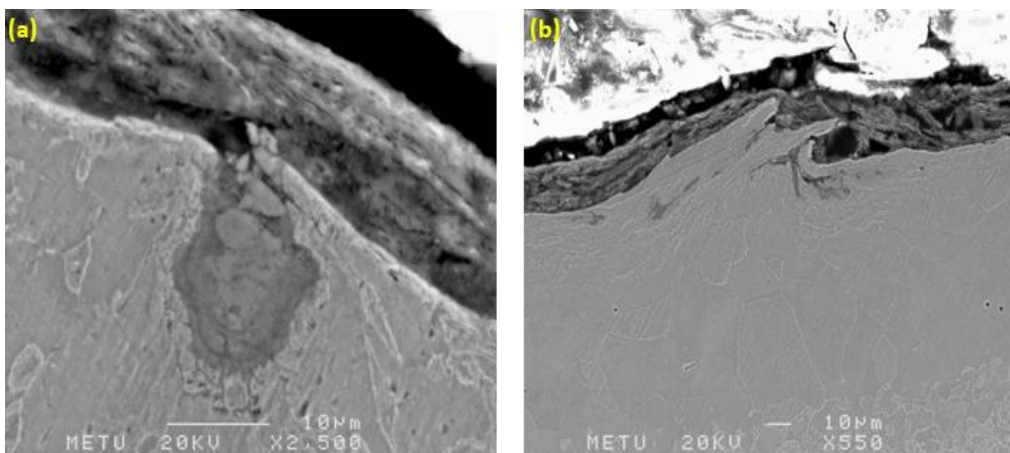


Şekil 6. Kısaçaların dış yüzeyindeki dekarb tabakası ve derinlikleri a) Kısaç No:1, b) Kısaç No:2, c) Kısaç No:3, d) Kısaç No:4

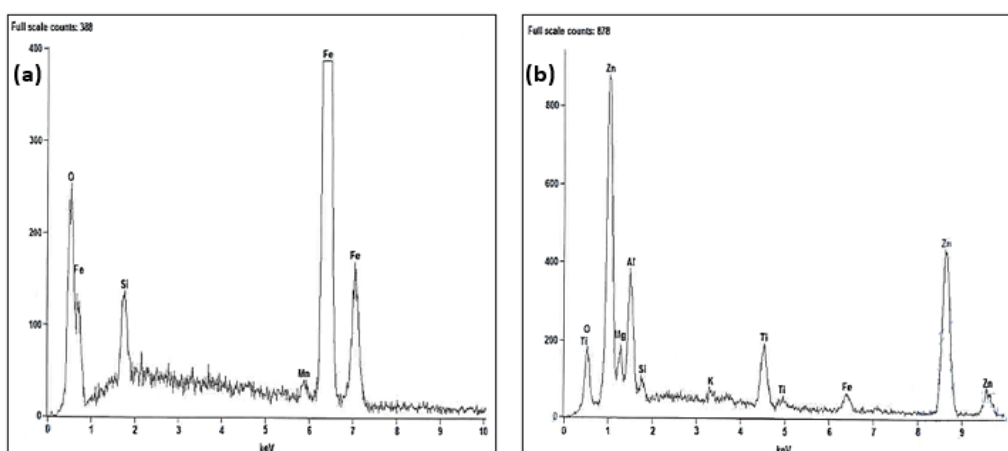


Şekil 7. Kısaçaların genel mikroyapısı a) Kısaç No:1, b) Kısaç No:2, c) Kısaç No:3, d) Kısaç No:4

Kıskaçların dış yüzeylerinde rastlanan korozyon çukurcuğu, katlanma hatası benzeri düzensizliklerden örnekler Şekil 8'de sunulmuştur. Bu hataların boyu 0.2 mm'den küçüktür. Yüzeydeki korozyon çukurculardan birinin içinden yapılan EDS ölçümünün sonucu (Şekil 9 (a)) korozyon ürününün demir oksit olduğunu göstermiştir. EDS analizleri ile numuneyi kaplayan korozyondan koruma tabakasının çinko ve titanyumdan oluştuğu (galvaniz) saptanmıştır, bakınız Şekil 9(b).



Şekil 8. Kıskaç yüzeyinde yorulma çatlağı oluşturabilecek hatalar, a) Korozyon çukurcuğu, b) Katlanma hatası



Şekil 9. EDS analiz sonuçları a) Şekil 8(a)'daki korozyon çukurcuğunun içi, b) Dıştaki galvaniz tabakasının kompozisyonu

2.4. Kimyasal analiz

Optik emisyon spektrometresi kullanılarak kıskaç çeliklerinin kimyasal birleşimi saptanmıştır. Tüm kıskaçlar benzer bileşime sahiptir. Belirlenen kimyasal bileşim Tablo 1'de verilmiştir. Kıskaç çeliğinin kimyasal kompozisyonu yay çelikleri için öngörülen bileşimle uyumludur.

Tablo 1. Kimyasal analiz sonuçları (Ağırlık yüzdesi olarak)

| | C | Si | Mn | P | S |
|--|-----------|---------|---------|------------|------------|
| Kıskaç Çeliği | 0.41 | 1.8 | 0.7 | 0.013 | 0.009 |
| Yay çeliği için öngörülen kimyasal kompozisyon aralığı | 0.35-0.42 | 1.4-1.8 | 0.5-0.8 | Maks 0.025 | Maks 0.025 |

2.5. Sertlik testleri

Kıskaçların kesitlerinden hazırlanan mikroyapı numunelerinin sertlikleri Vickers yöntemiyle ölçülmüştür. Sertlik ölçümlerinin sonuçları Tablo 2'de verilmektedir. Tabloda verilen her değer 5 adet ölçümün ortalamasıdır. Kıskaçların sertlikleri yay çelikleri için öngörülen sertlik aralığı değerleri içindedir.

Tablo 2. Sertlik test sonuçları

| Kıskaç No:1 | Kıskaç No:2 | Kıskaç No:3 | Kıskaç No:4 |
|---|-------------|-------------|-------------|
| Vickers sertlik değeri, HV2 | 412 | 402 | 430 |
| Yay çeligi için öngörülen Vickers sertlik aralığı | | 400-460 HV | |

3. Değerlendirme ve Sonuçlar

Kıskaçlar yorulma çatlaması ve çatlama ilerlemesi nedeniyle zaman içinde kırılmışlardır. Kırılma lokasyonu genellikle kurp bölgeleridir. Tüm kırılmaların kıskaçların aynı bölgesinden olması dikkat çekicidir.

Kıskaçlarda yorulma çatlaklarının başlama nedeni olarak iki vaka mevcuttur. İlk vakaya göre kıskaçlar hatalı montajdan dolayı ray tabanına göre normalden daha düşük seviyede kalmıştır. Bu da kıskaçların raya basan uçlarında daha fazla deplasman yapar ve kıskaçlarda meydana gelen gerilme malzemenin yorulma dayanım limitinin üzerine çıkar. Bu durumda kıskaçların ömrü sonlu olacak ya da tasarım ömürleri kısalacaktır.

İkinci vakada ise kıskaçlar normalden fazla yüze maruz kalmışlardır. Bazı bağlantı noktalarında; kırılan kıskaçların karşısındaki veya öncesindeki veya sonrasında kıskaçlarda torklarının yeterli şekilde verilmediği görülmektedir. Çevredeki kıskaçların yeterince torklanmamış veya gevşek olmaları, kırılan kıskaçlara binen yükü (veya deplasmanı) artıracaktır. Bu da normalde oluşması beklenmeyen yorulma çatlaklarının oluşması ve ilerlemesini mümkün kılar. Bu durumun özellikle kurplarda daha etkin olması ve kıskaçların çevrimsel aşırı yüklerle maruz kalmaları beklenen bir olgudur.

Kıskaçların kırılma hasarıyla ilgili varılan sonuçlar şunlardır:

- Kırılan kıskaçlar kimyasal kompozisyon ve sertlik olarak TCDD teknik şartnamelerine uygundur.
- Kırılmaların nedeni yorulmadır. Yorulma çatlakları kesitin yaklaşık üçte birini geçiktken sonra kıskaçlar aniden kırılmıştır.
- Yorulma çatlaması kıskaçların dış yüzeyinden başlamıştır. Çatlak başlangıç noktalarında galvaniz işleminden veya yetersiz menevişlenmeden kaynaklanan herhangi bir taneler arası kırılma olgusu gözlemlenmemiştir.
- Bu tür yay çeliklerinde yapının tamamen martensitik olması amaçlanır. Kıskaçların mikroyapısında bulunan ferrit fazı numunelere doğru ıslık işlem yapılmadığını (su verme ve menevişleme) göstermektedir. Temperlenmiş martenzite göre daha yumuşak olan ferrit, yorulma çatlamasını ve çatlak ilerlemesini kolaylaştırmaktadır. Dış yüzeydeki ferritik dekarb bölgesi de çatlak oluşumu için uygun bir zemin hazırlamıştır.
- Kıskaçların dış yüzeyindeki yüzey bozuklukları ve korozyon çukurcuklarının boyutları (0.2 mm'den küçük) her ne kadar öngörülen değerlerin içinde kalsa da yorulma

yüklemesi durumunda bu hataların çatlak başlangıcına neden olabilecekleri teorik bir gerçektir.

Çalışmanın başında yapılan literatür taramasından da görüleceği üzere SKL tipi veya diğer geometrilere sahip kıskaçlarda hasar oluşması arzulanmasa da karşılaşılan bir durumdur. Hasarın oluşması malzeme kaynaklı, mekanik yük kaynaklı veya imalat hatası gibi muhtelif sebeplerle olabilmektedir. Bunun görece önüne geçmek için kıskaçların geometrileri üzerine bir optimizasyon çalışması yürütülebilir, imalat yöntemleri güncellenebilir veya saha uygulamalarında daha ehemmiyetli olunması teşvik edilebilir.

Kaynakça

- [1] T.C. Milli Eğitim Bakanlığı, *Raylı Sistemler Teknolojisi, Raylar ve Bağlantılar*. Ankara, Türkiye: MEB, 2013
- [2] H. Xiao, J. B. Wang and Y. R. Zhang, “The fractures of e-type fastening clips used in the subway: theory and experiment,” *Eng. Fail. Anal.*, vol. 81, pp. 57-68, 2017.
- [3] X. Hong, G. Xiao, W. Haoyu, L. Xing and W. Sixing, “Fatigue damage analysis and life prediction of e-clip in railway fasteners based on abaqus and fe-safe,” *Adv. Mech. Eng.*, vol. 10, no. 3, pp. 1687814018767249, 2018.
- [4] A. Hasap, P. Paitekul, N. Noraphaiphaksa and C. Kanchanomai, “Influence of toe load on the fatigue resistance of elastic rail clips,” *Proc. Inst. Mech. Eng. Part F: J. Rail Rapid Transit*, vol. 232, no. 4, pp. 1078-1087, 2018.
- [5] Z. Liu, K. S. Tsang, Y. Liu and J. H. L. Pang, “Finite element and experimental study on multiaxial fatigue analysis of rail clip failures,” *Fatigue Fract. Eng. Mater. Struct.*, vol. 43, no. 10, pp. 2390-2401, 2020.
- [6] L. Ling, W. Li, H. Shang, X. Xiao, Z. Wen and X. Jin, “Experimental and numerical investigation of the effect of rail corrugation on the behaviour of rail fastenings,” *Veh. Syst. Dyn.*, vol. 52, no. 9, pp. 1211-1231, 2014.
- [7] X. Gao, A. Wang, L. Liu, Y. He and L. Ju, “Analysis of failure mechanism of w1-type fastening clip in high speed railway and structure study of damping composite,” *Eng. Fail. Anal.*, vol. 118, pp. 104848, 2020.
- [8] S. H. Kim, X. J. Fang, Y. C. Park and H. B. Sim, “Evaluation of structural behavior and fatigue performance of a kr-type rail clip,” *Appl. Sci.*, vol. 11, no. 24, pp. 12074, 2021.
- [9] D. Ferreño, J.A. Casado, I. A. Carrascal, S. Diego, E. Ruiz, M. Saiz, J. A. Sainz-Aja, A. I. Cimentada, “Experimental and finite element fatigue assessment of the spring clip of the skl-1 railway fastening system,” *Eng. Struct.*, vol. 188, pp. 553-563, 2019.
- [10] Y. C. Park, C. B. An, M. Kim and H. B. Sim, “Effect of the depth of decarburized layer in skl-15 tension clamp on fatigue strength,” *Appl. Sci.*, vol. 11, no. 9, pp. 3841-3950, 2021.
- [11] J. H. Kim, Y. C. Park, M. Kim and H. B. Sim, “A fatigue reliability assessment for rail tension clamps based on field measurement data,” *Appl. Sci.*, vol. 12, no. 2, pp. 624-634, 2022.
- [12] J. Y. Choi, S. H. Kim, S. J. Kim and J. S. Chung, “Failure analysis of tension clamps (skl-15) used in serviced urban railway tracks: numerical analyses and experiments,” *Mater.*, vol. 15, no. 18, 6354-6369, 2022.
- [13] J. G. Cho, J. W. Kim and J. S. Koo, “A study on fatigue strength improvement for tension clamp of railway using work hardening,” *IOP Conference Series: Materials Science and Engineering*, Bangkok, Thailand, 2019, pp. 012028.
- [14] Y. C. Park, C. An, H. B. Sim, M. Kim and J. K. Hong, “Failure analysis of fatigue cracking in the tension clamp of a rail fastening system,” *Int. J. Steel Struct.*, vol. 19, pp. 1570-1577, 2019.
- [15] S. Mohammadzadeh, S. Ahadi and H. Keshavarzian, “Assessment of fracture reliability analysis of crack growth in spring clip type vossloh skl-14,” *Proc. Inst. Mech. Eng. Part O: J. Risk Reliab. Proc. Inst. Mech. Eng. O: J. Risk Reliab.* vol. 228, no.5, pp. 460-468, 2014.
- [16] Demiryolu uygulamaları yol-bağlantı sistemleri için performans özellikleri bölüm 5, TS EN 13481-5+A1, 2017

Özgeçmiş**Ali MOTAMENİ**

Ali Motameni Lisans ve Yüksek Lisans eğitiminin Orta Doğu Teknik Üniversitesi Metalürji ve Malzeme Mühendisliği bölümünden almıştır. Doktora eğitimini ise aynı üniversitenin Mühendislik Bilimleri bölümünde tamamlamıştır. Çankaya Üniversitesi Makine Mühendisliğinde ders vermektedir, Raymak Test firmasının genel müdürlüğü görevini yürütmektedir. İlgi alanları hasar analizi, yorulma, katı mekaniği ve raylı sistemlerdir.

E-posta: ali.motameni@raymaklab.com

**Ömer Can FARUKOĞLU**

Ömer Can Farukoğlu Lisans eğitimini TOBB Ekonomi ve Teknoloji Üniversitesi Makine Mühendisliği’nde tamamlamıştır. Yüksek Lisansını Orta Doğu Teknik Üniversitesi Mühendislik Bilimleri bölümünden almıştır. Gazi Üniversitesi İmalat Mühendisliği bölümünde doktora eğitimi devam etmekte ve Çankaya Üniversitesi Makine Mühendisliği bölümünde ders vermektedir. Profesyonel ilgi alanları katı mekaniği, kompozit malzemeler ve hasar analizidir.

E-Posta: omercan.farukoglu@gazi.edu.tr

**Rıza GÜRBÜZ**

Rıza Gürbüz Lisans, Yüksek Lisans ve Doktora eğitmini Orta Doğu Teknik Üniversitesinde tamamlamıştır. Faal olarak Orta Doğu Teknik Üniversitesi Metalürji ve Malzeme Mühendisliği bölümünde dersler vermektedir, bölüm başkan yardımcılığı görevini yürütmektedir. Akademik ilgi alanları arasında yorulma, hasar analizi ve mekanik testler bulunmaktadır.

E-Posta: rgurbuz@metu.edu.tr

Beyanlar:

Bu makalede bilimsel araştırma ve yayın etiğine uyulmuştur.

Yazarların katkıları: Yazar katkıları belirtilmemiştir.